

مجله علوم و صنایع غذایی ایران

سایت مجله: www.fsct.modares.ac.ir



مقاله علمی-پژوهشی

بررسی تاثیر پوشش دهنی با امولسیون صمغ فارسی حاوی روغن شاهدانه بر تغییرات جرم و حجم انگور طی نگهداری در سردخانه با استفاده از سیستم های بینایی ماشین و یادگیری ماشین

علی گنجلو^۱، محسن زندی^{۲*}، ماندانا بی مکر^۱، ابوالفضل قره باغی^۳

۱- دانشیار، گروه علوم و مهندسی صنایع غذایی، دانشکده کشاورزی، دانشگاه زنجان، زنجان، ایران

۲- استادیار، گروه علوم و مهندسی صنایع غذایی، دانشکده کشاورزی، دانشگاه زنجان، زنجان، ایران

۳- دانش آموخته کارشناسی، گروه علوم و مهندسی صنایع غذایی، دانشکده کشاورزی، دانشگاه زنجان، زنجان، ایران

اطلاعات مقاله چکیده

تاریخ های مقاله:

تاریخ دریافت: ۹۹/۰۹/۱۴

تاریخ پذیرش: ۹۹/۱۱/۰۷

کلمات کلیدی:

پوشش دهنی،

پردازش تصویر،

ماشین بردار پشتیبان،

شبکه عصبی مصنوعی،

پیش‌بینی.

در این پژوهش تاثیر پوشش خوراکی صمغ فارسی (۰، ۱/۵ و ۳ درصد) حاوی روغن شاهدانه (۰، ۰/۰۷۵ و ۰/۱۵ درصد) بر تغییرات جرم و حجم طی نگهداری در دمای ۴ درجه سلسیوس به مدت ۲۸ روز بررسی گردید. سیستم بینایی ماشین به همراه انواع روش‌های یادگیری ماشین برای استخراج تصویر انگور از تصویر و تخمین جرم و حجم بر اساس خصیصه‌های تصویر (طول، عرض، ارتفاع و سطح) استفاده شد. برای پیش‌بینی جرم و حجم جبه انگور ۴ مدل یادگیری ماشین شامل رگرسیون خطی (LR)، شبکه عصبی مصنوعی (ANN)، ماشین بردار پشتیبان بر پایه تابع شعاعی (RBF-SVR) و ماشین بردار پشتیبان بر پایه تابع خطی (LBF-SVR) توسعه یافت. بهمنظور بررسی کارایی مدل‌های توسعه یافته داده‌های تخمین جرم و حجم انگور با داده‌های تجربی مقایسه گردید. جرم و حجم طی نگهداری در کل تیمارها کاهش یافت. از طرفی تغییرات جرم و حجم با افزایش غلظت صمغ فارسی و روغن شاهدانه کاهش یافت. بر اساس نتایج ارزیابی مدل، عملکرد پیش‌بینی مدل RBF-SVR در مقایسه با مدل‌های LR، ANN و LBF-SVR دقیق‌تر بود و توانست جرم و حجم را به ترتیب با ضریب تبیین ۰/۹۸۹ و ۰/۹۹۸ تخمین بزند که نشان‌دهنده همبستگی خوب بین نتایج واقعی و پیش‌بینی است. این نتایج تائید می‌نماید که مدل SVR ابزاری قابل قبول در تخمین جرم و حجم انگور پوشش‌دار شده طی نگهداری در دمای سردخانه است.

DOI: 10.52547/fsct.18.04.13

*مسئول مکاتبات:

Zandi@znu.ac.ir

تخمین جرم، ابعاد، شکل، حجم و تغییرات آنها در بسیاری از انواع مواد غذایی استفاده می‌گردد [۴، ۹]. برخی از محققان از تکنیک‌های بر پایه تجزیه و تحلیل تصویر برای تخمین خصیصه‌های شکلی، حجمی و جرمی استفاده نموده‌اند؛ از آن جمله می‌توان به پیش‌بینی اندازه تخم مرغ با کمک بینایی ماشین و شبکه عصبی مصنوعی (ANN) [۳، ۴]، طبقه‌بندی شکلی سیب‌زمینی با استفاده از سیستم بینایی ماشین و با کمک تصاویر دو بعدی و سه بعدی [۹، ۱۵]، استفاده از تکنیک پردازش تصویر به منظور تخمین جرم و حجم میوه‌هایی نظری پرنتال، سیب و لیمو [۱۶]، تخمین اندازه و جرم آجیل‌هایی نظری پسته و بادام [۱۰، ۱۱، ۱۳]، استفاده از بینایی ماشین و الگوریتم یادگیری ماشین برای تخمین جرم و حجم گوجه‌فرنگی گیلاسی [۱۸، ۶]، استفاده از بینایی ماشین به منظور تخمین تغییرات حجم برگه سیب طی فرآیند خشک کردن [۳، ۵]، تخمین اندازه دانه‌های غلات مانند برنج با استفاده از روش پردازش تصویر [۲، ۱۲، ۱۰] و تعیین نسبت شکلی^۴ و وزن ملونهای زرد با کمک سیستم بینایی ماشین [۱۹] اشاره نمود.

پژوهش‌های پیشین نشان دادند که استفاده از تکنیک یادگیری ماشین مانند شبکه عصبی مصنوعی و ماشین بردار پشتیبان (SVM)^۵ سرعت عملکرد سیستم بینایی ماشین و قابلیت اطمینان به آن را بهبود بخشیده است و ترکیب این دو روش با هم می‌تواند سیستمی قدرتمند برای فرایندهای پیش‌بینی و طبقه‌بندی در مواد غذایی ایجاد نماید [۲، ۴، ۱۱]. یادگیری ماشین به عنوان زیر مجموعه‌ای از هوش مصنوعی این امکان را فراهم می‌آورد تا با توسعه مدل‌های مختلف از داده‌ها برای یادگیری خود استفاده نماید؛ مدل‌های یادگیری ماشین روشنی منحصر به فرد برای ایجاد یک سیستم مدل پیش‌بینی در قالب یک مجموعه داده شناخته شده را ارائه می‌دهند [۱۲]. یوتای و همکاران (۲۰۱۹) جرم میوه انبه را با دقت بالای ۹۷ درصد توسط شبکه عصبی مصنوعی و سیستم پردازش تصویر تخمین زدند. این تخمین با استفاده از طول، عرض، ضخامت و سطح انبه انجام شد [۲۰]. جرم و حجم گوجه‌فرنگی گیلاسی با کمک تصاویر دو بعدی و سه بعدی و

۱- مقدمه

اندازه، شکل، حجم و جرم مواد غذایی شامل میوه‌ها، غلات، آجیل‌ها و سبزی‌ها نقشی اساسی و مهمی طی فراوری مواد غذایی و میزان پذیرش مصرف‌کننده دارند؛ این خصیصه‌ها به عنوان ویژگی‌های کیفی ظاهری محصولات غذایی است [۴-۱]. در بسیاری از موارد اندازه، شکل، جرم و حجم مواد غذایی طی فراوری تغییر می‌نمایند؛ به عنوان مثال تغییر حجم توده میوه‌ها و سبزی‌ها طی فرآیند خشک‌شدن [۵، ۱، ۳] یا تغییر جرم و حجم میوه‌ها و سبزی‌ها طی نگهداری در سردخانه یا انبار [۶-۹]؛ همچنین ممکن است این خصیصه‌ها در درجه کیفی محصول نهایی موثر باشند؛ به عنوان مثال اندازه برنج یک ویژگی بسیار مهم می‌باشد که به طور قابل توجهی بر پذیرش مصرف‌کننده از درجه کیفی و قیمت آن تأثیر می‌گذارد [۲] و یا اندازه مغز بادام یا پسته در صنعت آجیل‌ها نقش مهمی در تعریف درجه کیفی آن در سطح بین‌المللی در این صنعت دارد [۱۱]. از این‌رو تخمین حجم، جرم و اندازه در صنعت غذا بسیار حائز اهمیت می‌باشد. اندازه‌گیری این خصیصه‌ها با استفاده از روش‌های معمول مانند استفاده از ترازو یا اندازه‌گیری ابعاد و یا روش‌های جابجاگی مایع و جامد اگرچه دارای دقت مناسبی هستند ولی اغلب زمان بر، ناکارآمد و نامقرون به صرفه می‌باشند [۳، ۱۱]. اخیراً، استفاده از سیستم‌های ترکیبی ماشین بینایی^۱ به همراه تکنیک یادگیری ماشین^۲ برای تخمین اندازه، حجم و جرم میوه‌ها، غلات، آجیل‌ها و سبزی‌ها به منظور جداسازی کیفی یا بررسی تغییرات آنها طی نگهداری یا فراوری به کار گرفته شده است [۶، ۱۰-۱۴].

سیستم بینایی ماشین که با تکیه بر تجزیه و تحلیل تصویر عمل می‌نماید از روش‌های جدیدی مبتنی بر هوش مصنوعی است که به طور روزافزونی در صنعت غذا به کار برده می‌شود [۸]. تحولات اخیر در فناوری‌های تصویربرداری و تجزیه و تحلیل آن سبب افزایش دقت و کارایی این سیستم‌ها گردیده است [۲]. سیستم‌های بینایی ماشین به عنوان بخشی جدایی‌ناپذیر از صنایع غذایی برای ارزیابی کیفی سریع، دقیق، غیر مخرب و ارزان در حال توسعه است و به طور گستره‌های برای بازرگانی کیفی و

3. Artificial Neural Networks (ANN)

4. Shape ratio

5. Support Vector Machine (SVM)

1. Machine vision

2. Machine learning

بهترین تکنیک و تعیین کمیت خطاهای عدم قطعیت مرتبط با پیش‌بینی‌ها انجام پذیرفت. الگوریتم ماشین یادگیری توسعه یافته در این مطالعه می‌تواند ابزاری بسیار مفید جهت بررسی تغییرات ظاهری انگور در سرخانه باشد.

۲- مواد و روش‌ها

۱-۲- تهیه مواد اولیه، پوشش‌دار کردن خوش‌های انگور و نگهداری

انگور، صمغ فارسی و روغن شاهدانه از بازار محلی (زنگان، ایران) تهیه گردید. خوش‌های انگور سالم پس از شستشو، ضدغونی کردن سطحی (با محلول هیپوکلریت سدیم ۰/۱ درصد به مدت ۱۵ دقیقه) و خشکشدن آب سطحی آن، مورد استفاده قرار گرفت. محلول صمغ فارسی با سه غلظت ۰، ۱/۵ و ۳ درصد از طریق انحلال آرام صمغ در آب و همزدن توسط یک همزن مغناطیسی به مدت ۳ ساعت در دمای اتاق و در نهایت آب‌گیری به مدت یک شب در دمای یخچال، تهیه گردید. برای تهیه محلول پوشش‌دهی ابتدا گلیسرول (۰/۳ درصد وزنی/حجمی) و سپس روغن شاهدانه با غلظت‌های ۰، ۰/۰۷۵ و ۰/۱۵ درصد (وزنی/حجمی) و تؤین ۸۰ (با غلظتی مشابه روغن شاهدانه) به ترتیب در دمای اتاق به محلول صمغ فارسی تهیه شده، اضافه گردید و همزدن با کمک همزن مغناطیسی به مدت ۳۰ دقیقه بعد از افروden گلیسرول و روغن شاهدانه (به همراه تؤین ۸۰) انجام شد. امولسیون نهایی با استفاده از هموژنایزر (MTOPS- SR30، کره جنوبی) با سرعت ۱۵۰۰ دور در دقیقه به مدت ۵ دقیقه تهیه گردید. پوشش‌دار کردن خوش‌های انگور به روشن غوطه‌وری در دمای اتاق به مدت ۵ دقیقه و در دو مرحله با فاصله زمانی ۲ دقیقه انجام شد و محلول اضافه از طریق قرار دادن خوش‌ها روی یک توری فلزی حذف گردید. پس از خشک شدن کامل پوشش سطحی، خوش‌ها به مدت ۲۸ روز در دمای ± 4 درجه سلسیوس و رطوبت نسبی ۶۵ درصد نگهداری شدند.

ماشین بردار پشتیبان با دقت بالای ۹۶ درصد در پژوهشی توسط نیلا و همکاران (۲۰۱۹) پیش‌بینی گردید [۱۸]. تلفیق موفقیت‌آمیز روشن بینایی ماشین و یادگیری ماشین برای تخمین جرم، وزن، حجم و شکل توسط سایر محققان نیز ارائه شده است [۲، ۴، ۱۱-۱۷].

انگور یکی از محصولات باغی رایج در جهان است که متعلق به خانواده *Vitaceae* می‌باشد. این میوه نافرازگرا روی بوته می‌رسد و پس از برداشت تقریباً مواد نشاسته‌ای جهت تبدیل شدن به قندهای ساده ندارد، از این‌رو طی نگهداری فعالیت فیزیولوژیکی اندکی دارد [۲۱، ۲۲]. با این حال این میوه پس از برداشت و طی نگهداری به کاهش آب (چروکیدگی حبه) و آلدگی‌های قارچی بسیار حساس است و معمولاً چروکیدگی و ریزش حبه‌ها، قهوه‌ای شدن چوب خوش و پوسیدگی میوه از عوامل اصلی کاهش کیفیت میوه در مراحل پس از برداشت می‌باشد و کاهش بیش از ۵ درصد رطوبت انگور، سبب چروکیدگی حبه آن می‌گردد. عمر نگهداری میوه‌ها به شدت تحت تأثیر شرایط نگهداری می‌باشد [۲۱، ۲۳]. فرآیندهای پس از برداشت نظیر استفاده از پوشش‌های خوراکی سبب کاهش سرعت تغییرات فیزیکی و شیمیایی انگور می‌گردد [۲۴]؛ صمغ فارسی یکی از ترکیبات پلی‌ساقاریدی مناسب به عنوان پوشش می‌باشد که از ترشحات موجود در پوسته درخت بادام به دست می‌آید؛ این صمغ به سبب خواص چسبندگی مناسب پوششی یکنواخت و شفاف ایجاد می‌نماید [۲۵-۲۷] و سبب کاهش از دست دادن رطوبت می‌گردد؛ افزودن روغن شاهدانه به پوشش صمغ فارسی نیز به دلیل ماهیت آبگریزی سبب بهبود خواص ممانعت کننده‌گی پوشش می‌گردد و به دلیل خواص ضد میکروبی از آلدگی‌های قارچی می‌کاهد.

هدف کلی این مطالعه طراحی و توسعه روش جدیدی مبتنی بر فناوری بینایی ماشین و سیستم ماشین یادگیری برای پیش‌بینی دقیق جرم و حجم انگور پوشش‌دار شده با صمغ فارسی حاوی روغن شاهدانه طی نگهداری در سرخانه می‌باشد. بدین منظور از تکنیک‌های ANN، SVM و رگرسیون خطی (LR)^۶ استفاده شد. در نهایت مقایسه آماری بین این روش‌ها جهت انتخاب

6. Linear regression

ابعاد ۵۰ میلی‌متر به عنوان مرجع برای تبدیل پیکسل به طول و مساحت در کنار حبه‌های انگور قرار داده شد.

۲-۳-۲-پیش‌پردازش

فرایند پیش‌پردازش با کمک نرم‌افزار متلب R2019a، ایالات متحده آمریکا) انجام پذیرفت؛ در گام اول تقطیع تصویر صورت پذیرفت تا اطمینان حاصل شود که تصاویر فقط شامل جبه انگور و پس‌زمینه هستند. در محیط RGB و با کمک فیلتر میانه و گوسین نویز تصاویر که ناشی از انعکاس یا نوسان نور هستند، حذف گردید و تصاویر تا حدودی هموار می‌گردد در ادامه با حذف پس‌زمینه به روش اوتسو، تصاویر با استفاده از میانگین مقادیر R، G و B (رابطه ۲) پیکسل‌ها به عنوان مقیاس خاکستری (GS) تبدیل به تصاویر خاکستری. مقیاس‌بندی خاکستری تصویر به ما این امکان را می‌دهد تا از یک مقدار آستانه واحد برای ایجاد یک تصویر دودویی (باینری)^۷ استفاده نمود (شکل ۱). حد آستانه خصوصیتی است که شرایط آزمون را در پردازش تصویر بهینه‌سازی می‌نماید و به عواملی مانند سطح روشنایی، رنگ جسم (انگور) و بازتاب از سطح پس‌زمینه بستگی دارد [۱۱]:

$$GS = (R + G + B)/3 \quad (\text{رابطه } 2)$$

در نهایت تصویر دودویی با مقایسه هر پیکسل با مقدار آستانه از تصویر در مقیاس خاکستری به دست آمد. در فرایند آستانه‌گیری پس از تعیین حد آستانه، جبه انگور به عنوان پیکسل‌های سفید (مقدار مقیاس خاکستری بالاتر از حد آستانه) و پس زمینه تیره به عنوان پیکسل‌های سیاه (مقدار خاکستری کمتر از حد آستانه) شناخته می‌شود و تصاویر RGB به تصاویر دودویی تبدیل می‌گردد (شکل ۱). به عبارت دیگر مقدار مقیاس خاکستری محاسبه شده برای هر پیکسل اگر کمتر از حد آستانه باشد، به جای آن مقدار صفر و اگر بیشتر از حد آستانه باشد، به جای آن مقدار یک قرار داده می‌شود. الگوریتم پردازش تصویر به طور خودکار مقدار آستانه را تنظیم می‌کند.

۲-۲-اندازه‌گیری جرم، حجم و تغییرات آن

قبل از انجام تصویربرداری جرم هر یک از حبه‌های انگور بر حسب گرم با استفاده از یک ترازو دیجیتال با دقت ± 0.01 گرم (رادوگ، لهستان) اندازه‌گیری شد. با داشتن جرم جبه انگور در روز ۱ (W_0) و روز ۲۸ (W) میزان تغییرات آن (WL)، بر حسب درصد محاسبه گردید (رابطه ۱):

$$(\text{رابطه } 1)$$

$$WL (\%) = ((W - W_0) / W_0) \times 100$$

مقدار حجم واقعی با استفاده از اصل جابجایی آب اندازه‌گیری شد. برای این منظور، تک‌تک حبه‌های انگور در بشر یک لیتری لبریز از آب فرو برده شد و با اندازه‌گیری حجم آب خارج شده با استفاده از استوانه مدرج، حجم میوه بر حسب سانتی‌متر مکعب به دست آمد. تغییرات حجم نیز مانند تغییرات جرم محاسبه گردید.

۲-۳-سیستم ماشین بینایی

۲-۳-۲-عکس‌برداری

سیستم بینایی ماشین از یک دوربین (سونی، مدل DSC-H5 راپن)، دو لامپ SMD با زاویه ۴۵ درجه (۱۵ وات، مهتابی) و دو پنل LED مهتابی (۲۰ وات) به همراه ۱۲ نوار LED مهتابی، محفظه عکس‌برداری (جعبه سفید)، پایه نگهدارنده دوربین، رایانه با پردازنده مرکزی i7 و سیستم عامل ویندوز ۱۰ و همچنین ۸ گیگابایت حافظه موقت و سیستم کنترل از راه دور روشنایی تشکیل شده است. برای نورپردازی در پژوهش حاضر از دو لامپ SMD و پنل LED مهتابی سقفی استفاده گردید تا اولاً از هرگونه بازتاب کننده نور در سطح پیش‌زمینه جلوگیری شود و ثانیاً از ایجاد نقاط یا لبه بازتاب کننده نور در سطح میوه جلوگیری شود تا میزان نویز به حداقل ممکن برسد. عکس‌برداری در فاصله ۲۵ سانتی‌متری از نمونه و با فاصله کانونی ۱۸ میلی‌متری انجام پذیرفت و عکس‌های خام با فرمت TIFF ووضوح ۳۰۷۲×۲۳۰۴ در کامپیوتر ذخیره گردید. کاغذ مربع استاندارد با

7. Binary images

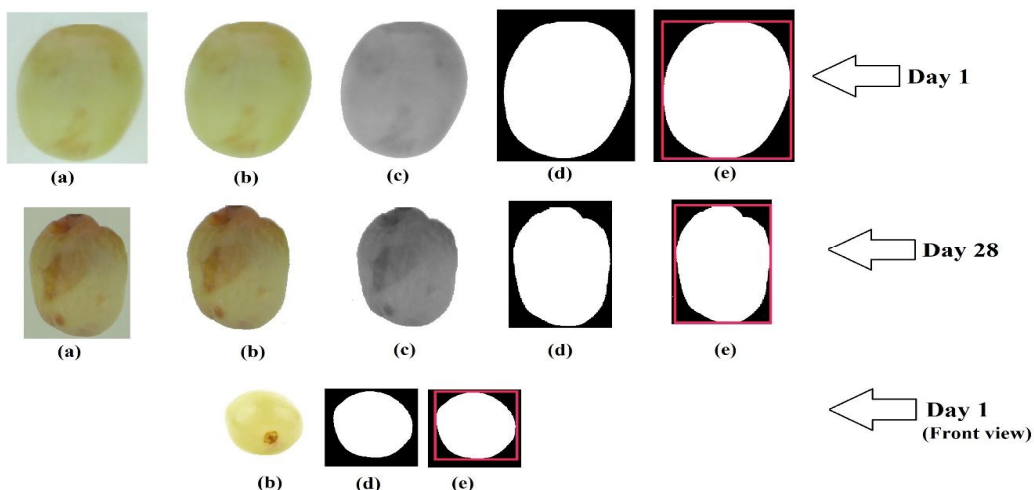


Fig 1 (a) RGB image, (b) Background removal, (c) Grayscale image, (d) Thresholding, (e) calculation for length and width.

نتایج نشان داد که مساحت محاسبه شده از بیضی‌گون (A) بزرگ‌تر از مساحت به‌دست آمده با استفاده از نرم‌افزار (A_s) است؛ از این‌رو مساحت به‌دست آمده با استفاده از نرم‌افزار (بر حسب میلی‌متر مربع) با مساحت به‌دست آمده از بیضی‌گون مقایسه گردید (رابطه ۵) و ضریب تصحیحی (CF) برای هر تصویر به‌دست آمد که این ضریب تصحیح برای تصحیح حجم محاسبه شده (V_c) برای بیضی‌گون استفاده شد (رابطه ۶):

$$CF = A_s / A \quad (رابطه ۵)$$

$$V_c = CF \times V \quad (رابطه ۶)$$

تغییرات حجم انگور (ΔV ، بر حسب درصد) طی نگهداری نیز با استفاده از حجم تصحیح شده در روزهای ۱ (V_{c1}) و ۲۸ (V_{c28}) نگهداری محاسبه گردید (رابطه ۷):

$$\Delta V = ((V_{c28} - V_{c1}) / V_{c1}) \times 100 \quad (رابطه ۷)$$

برای محاسبه میزان چروکیدگی سطحی (S_k) از سطح تصاویر در روزهای ۱ (A₁) و ۲۸ (A₂₈) نگهداری در جبهه انگور با کمک رابطه ۸ استفاده گردید:

$$S_k = A_{28} / A_1 \quad (رابطه ۸)$$

۴-۲-سیستم یادگیری ماشین

۴-۲-۱-رگرسیون خطی (LR)

رگرسیون خطی به عنوان اولین روش یادگیری ماشین است که برای تخمین میزان جرم و حجم جبهه‌های انگور مورد استفاده قرار

۳-۳-۲-استخراج خصیصه

مساحت هر جبهه انگور با استفاده از تصاویر دودویی و با کمک جعبه ابزار پردازش تصویر نرم‌افزار متلب R2019a (Mathworks، آمریکا) بر حسب توان دوم پیکسل استخراج گردید. اندازه مشخص کاغذ مربع استاندارد برای کالیبراسیون و تبدیل اندازه پیکسل جبهه انگور به بعد دنیای واقعی استفاده شد. با استفاده از نرم‌افزار و با کمک اطلاعات کانتور، مستطیل کمینه‌ای روی جبهه انگور محصور گردید (شکل ۱). تعداد پیکسل طول و عرض این مستطیل نشان‌دهنده طول (L) و عرض (W_d) جبهه انگور بر حسب پیکسل می‌باشد. این طول و عرض با کمک کاغذ مربع استاندارد از پیکسل به میلی‌متر تبدیل شد. تعداد پیکسل در میلی‌متر به وضوح تصویر بستگی دارد. برای محاسبه ضخامت از تصویر در جهت دیگر استفاده گردید و با محاط کردن مستطیل دیگری مقدار ضخامت (h) و عرض انگور محاسبه گردید که به ترتیب معادل طول و عرض مستطیل محاط شده جدید بود (شکل ۱). از آنجائی که شکل جبهه انگور بیضی‌گون می‌باشد. مساحت (A) و حجم (V) آن با فرض بیضی‌گون بودن از روابط ۳ و ۴ به‌دست آمد:

$$A = \pi \times L \times W_d \quad (رابطه ۳)$$

$$V = 1.33 \times \pi \times L \times W_d \times h \quad (رابطه ۴)$$

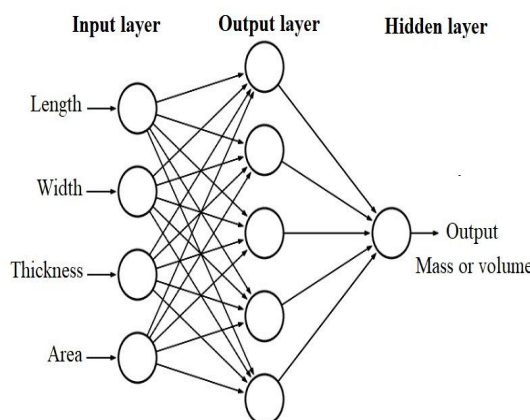


Fig 2 MLP structure.

۲-۴-۳-ماشین بردار پشتیبان (SVM)

در این پژوهش برای پیش‌بینی حجم و جرم به کمک پردازش تصویر از SVM استفاده گردید؛ SVM یک نوع سیستم یادگیری ناظارت شده می‌باشد که عملکرد آن به مجموعه داده‌های آموزش و آزمایش بستگی دارد و هم برای طبقه‌بندی (SVM) و هم برای تخمین و برآوردتابع برآش داده‌ها در مسائل رگرسیون (SVR)^{۱۱} به کار می‌رود (شکل ۲)، به طوری که کمترین خط در طبقه‌بندی داده‌ها یا تابع برآش رخ دهد. هدف SVR که مدل رگرسیونی SVM می‌باشد، این است که تابع $f(x)$ را برای الگوهای آموزشی X طوری تشخیص دهد که بیشینه حاشیه را از مقادیر آموزشی y داشته باشد. به عبارت دیگر مدل SVR مدلی است که منحنی با ضخامت ϵ را به داده‌ها برآش می‌دهد به نحوی که کمترین خط در داده‌های آزمون صورت گیرد [۲۸]. انتخاب تابع کرنل^{۱۲} موضوع بسیار مهمی است که بر اساس اطلاعات آزمون و رگرسیون و اطلاعات نظری انجام می‌پذیرد. توابع کرنل خطی و تابع پایه شعاعی (RBF)^{۱۳} از مهم‌ترین توابع کرنل هستند. به طور کلی رگرسیون‌گیری به شیوه خطی به ندرت اتفاق می‌افتد و در عمل نحوه قرارگیری داده‌ها به صورت غیرخطی می‌باشد. تنظیم شاخص‌های مدل تأثیر زیادی در دقت پیش‌بینی دارد، شاخص‌های SVR برای تابع RBF شامل شاخص‌های هسته گاما (γ)، شاخص اپسیلون (ϵ) و تنظیم (C) است که C خطای مربوط به انحراف بیشتر از ϵ را کنترل می‌کند و برای کنترل سادگی تابع هسته و شاخص‌های تابع هسته مانند η

گرفت؛ رگرسیون خطی چند متغیره به عنوان نوعی رگرسیون خطی رابطه بین شاخص‌های ورودی (x_1, x_2, \dots, x_n) و متغیر مستقل (Y) را با شاخص‌های خروجی (Y، متغیر وابسته) به طور همزمان مورد بررسی قرار می‌دهد:

$$Y = a + B_1x_1 + B_2x_2 + B_3x_3 + \dots + B_nx_n \quad (4)$$

+e
در این رابطه B_1, B_2, \dots, B_n برابر ضرایب مدل، a برابر ثابت مدل و e نیز برابر خطای مدل رگرسیونی است. شاخص‌های ورودی در این پژوهش طول، عرض، ضخامت و سطح و شاخص خروجی نیز جرم و حجم جبهه‌ای انگور می‌باشد. این فرایند با کمک جعبه ابزار برآش منحنی نرم‌افزار متلب (Mathworks) R2019a، ایالات متحده آمریکا) انجام پذیرفت.

۲-۴-۴-شبکه عصبی مصنوعی (ANN)

در میان معماری‌های مختلف ANN، شبکه‌های پرسپترون چند لایه (MLP)^{۱۴} (شکل ۳) معمولاً برای طبقه‌بندی، درجه‌بندی و پیش‌بینی کیفیت مورد استفاده قرار می‌گیرند [۴]. ساختار MLP از یک لایه ورودی، یک یا چند لایه مخفی و یک لایه خروجی تشکیل شده است. عملاً زمانی که تابع فعال‌سازی غیرخطی باشد، وجود لایه پنهان مفید است. MLP معمولاً توسط الگوریتم انتشار مجدد خطای آموزش می‌بینند. شاخص‌های طول، عرض، ضخامت و مساحت جبهه‌ای انگور به عنوان شاخص‌های ورودی انتخاب شدند در حالی که خروجی ANN جرم و حجم جبهه‌ای انگور بود. پیکربندی ANN نقش مهمی در دقت محاسبات دارد. از این‌رو از یک لایه پنهان با تعداد نورون ۲ تا ۳۰ به همراه تابع آستانه‌ای سیگموئید لگاریتمی و تان‌اکسون^۹ و تابع آموزشی مومتووم^{۱۰} به منظور آموزش شبکه استفاده گردید. در فرایند پیش‌بینی از اطلاعاتی استخراجی از ۲۰۰ تصویر (شامل ۱۰ تیمار در دو زمان نگهداری) استفاده گردید که ۶۵ درصد داده‌ها برای آموزش، ۱۵ درصد برای آزمون مدل و ۲۰ درصد برای اعتبارسنجی آن مورد استفاده قرار گرفت. این فرایند با کمک جعبه ابزار ANN نرم‌افزار متلب (Mathworks) R2019a ایالات متحده آمریکا) انجام پذیرفت.

11. Support vector regression
12. Kernel function
13. Radial basis function

8. Multilayer perceptron
9. TanhAxon
10. Momentum

$$\text{RMSE} = ((1/n) \times \sum(o_i - p_i)^2)^{0.5} \quad (13)$$

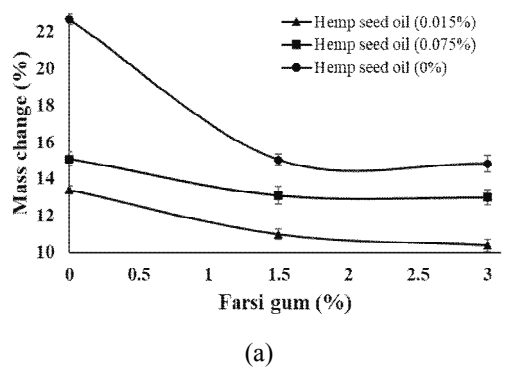
$$R^2 = (\sum(o_i - O) \times (p_i - P))^2 / (\sum(o_i - O)^2 \times \sum(p_i - P)^2) \quad (14)$$

$$\text{Bias} = (1/n) \times \sum(o_i - p_i) \quad (15)$$

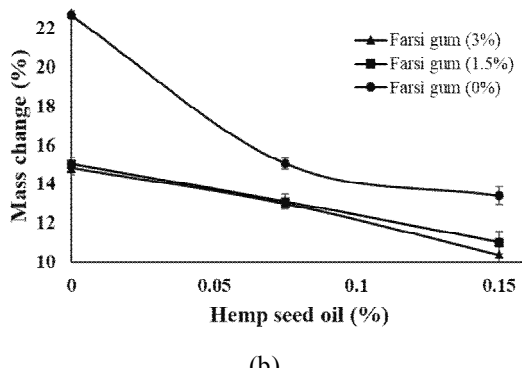
۳-نتایج و بحث

۱-۳-تغییرات جرم و حجم طی نگهداری انگور و بررسی تاثیر پوشش دهی

نتایج حاصل از اندازه گیری تغییرات جرم و حجم مشخص نمود که جرم و حجم انگور در تمام نمونه ها با گذشت زمان از روز ۱ تا روز ۲۸ به طور معنی داری ($p < 0.05$) کاهش یافت. از دست دادن رطوبت به عنوان عامل اصلی این تغییرات است [۳۱]. استفاده از پوشش دهی می تواند میزان از دست دادن رطوبت و در نتیجه تغییرات جرم و حجم را کاهش دهد. همان طور که انتظار می رفت، با افزایش سطح روغن شاهدانه و صمغ فارسی تغییرات جرم و حجم به طور معنی داری ($p < 0.05$) کاهش یافت (شکل های ۴ و ۵).



(a)



(b)

Fig 4 Mass change of coated grape during storage time based on (a) Farsi gum changes and (b) Hemp seed oil changes.

می باشد و هر چقدر مقدار آن بزرگ تر شود، خطای آموزش کمتر خواهد شد و از طرفی قدرت تعیین دهنده مدل نیز کمتر می شود. برای مطالعه حاضر از سهتابع هسته شامل RBF (رابطه ۱۰) و خطی (رابطه ۱۱) برای SVR استفاده شد [۲۹، ۳۰].

$$K(x, x') = \exp(-\|x - x'\|^2 / (2\gamma^2)) \quad (10)$$

$$K(x, x') = x - x' \quad (11)$$

که $\|x - x'\|$ به عنوان فاصله اقلیدسی مربع شکل بین دو بردار ویژگی x و x' مشخص شد و γ گسترش توزیع درتابع هسته می باشد. رابطه ۱۰ تحت عنوان کرنل گوسی^{۱۴} شناخته می شود که به عنوان تابعی از RBF می باشد. در این مدل شاخص های طول، عرض، ضخامت و مساحت به عنوان کرنل گوسی^{۱۴} شناخته می شود که از آنها برای پیش بینی جرم و حجم استفاده می گردد؛ بدین منظور از اطلاعات استخراجی از ۲۰۰ تصویر (شامل ۱۰ تیمار در دو زمان نگهداری) استفاده گردید که ۷۵ درصد داده ها برای آموزش و ۲۵ درصد برای آزمون استفاده گردید.

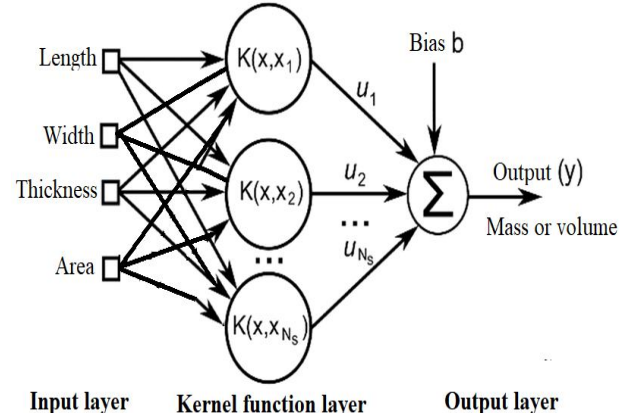


Fig 3 SVR structure.

۴-۴-ارزیابی سیستم یادگیری ماشین

عملکرد مدل با مجموعه داده های آزمایش با استفاده از چهار شاخص شامل مجموع مربعات خطأ (SSE) (رابطه ۱۲)، میانگین ریشه مربعات خطأ (RMSE) (رابطه ۱۳)، ضریب تعیین (R^2) (رابطه ۱۵) و بایاس^{۱۷} (رابطه ۱۶) ارزیابی شد. این شاخص های ارزیابی با استفاده از داده های پیش بینی شده (O) و میانگین آن (P) و داده های آزمایشگاهی (p) و میانگین آن (O) محاسبه گردید [۲۹، ۱۰].

$$\text{SSE} = \sum(o_i - p_i)^2 \quad (12)$$

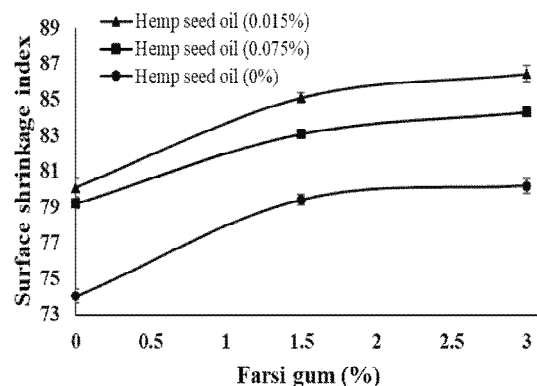
14. Gaussian kernel

15. Sum of Square Errors (SSE)

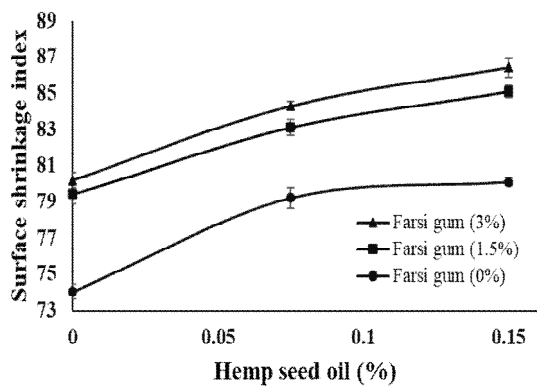
16. Root Mean Square Error (RMSE)

17. Bias

مشابهای با تغییرات حجم و جرم نشان داد (شکل ۶). نتایج نشان داد که با افزایش صمغ فارسی و روغن شاهدانه میزان چروکیدگی سطحی به طور معنی داری ($p < 0.05$) کاهش می یابد.



(a)



(b)

Fig 6 Surface shrinkage change of coated grape during storage time based on (a) Farsi gum changes and (b) Hemp seed oil changes.

۲-۳-پیش‌بینی جرم

پیش‌بینی جرم نقش موثری در ارزیابی کیفی میوه طی نگهداری در سرخانه، فراوری و عرضه به بازار برای کمک به مکانیزه شدن فرایندها دارد. در این پژوهش از چهار روش SVR-, LR-, ANN و SVR-RBF بر پایه متغیرهای طول، عرض، ضخامت و سطح به عنوان متغیر مستقل و جرم به عنوان متغیر وابسته بهره گرفته شد. شکل ۷ نتایج حاصل از پیش‌بینی جرم را نسبت به جرم واقعی برای هر چهار مدل نشان می‌دهد. همان‌طور که مشاهده می‌گردد، هر چهار مدل با عملکرد نسبتاً موفقی قادر به پیش‌بینی جرم بودند. متوسط جرم اندازه‌گیری شده ۱/۹۳ گرم بود در حالی که متوسط جرم پیش‌بینی شده توسط

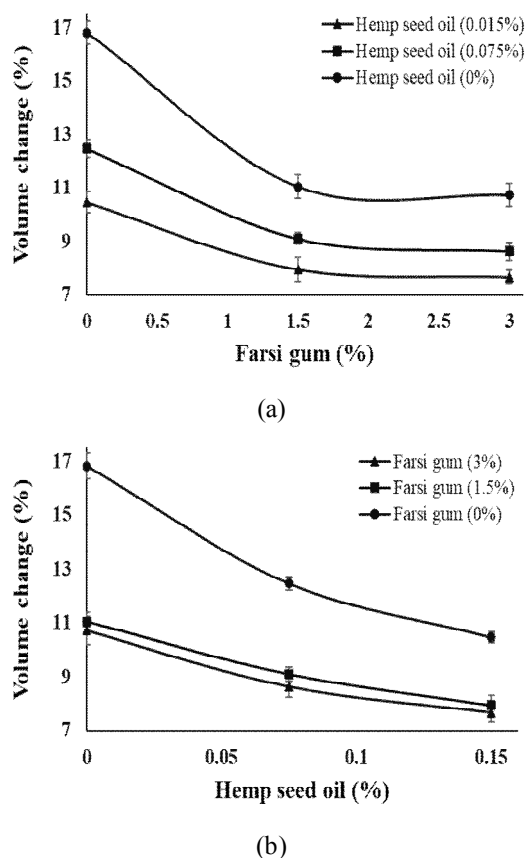


Fig 5 Volume change of coated grape during storage time based on (a) Farsi gum changes and (b) Hemp seed oil changes.

نتایج نشان داد که در دو سطح ۱/۵ یا ۳ درصد صمغ فارسی تفاوت معنی داری ($p < 0.05$) در کاهش این تغییرات وجود ندارد، ولی تمام سطوح روغن شاهدانه بر میزان چروکیدگی سطحی و حجم به طور معنی داری ($p < 0.05$) موثر بودند. افزایش میزان روغن شاهدانه به سبب خاصیت آبگریزی آن سبب افزایش خاصیت ممانعت کننده در برابر بخار آب و بهبود خصوصیات فیزیکی پوشش می‌گردد [۳۲]. اثرات ضد میکروبی روغن شاهدانه در کنار بهبود خصوصیات فیزیکی و ممانعت کننده سبب کاهش تغییرات فیزیکی و شیمیایی و فعالیت میکروبی و در نتیجه کاهش از دست دادن رطوبت می‌گردد [۳۵-۳۲]. از آنجائی که با افزایش غلظت صمغ فارسی تا حد مشخصی خصوصیات چسبندگی محلول صمغ فارسی افزایش می‌یابد در نتیجه لایه نسبتاً نفوذناپذیر در برابر اکسیژن [۲۵, ۲۷] روی جبه انگور ایجاد می‌گردد و در نتیجه سرعت از دست دادن رطوبت کاهش می‌یابد. بررسی نتایج چروکیدگی سطحی حاصل از تصویر نیز نتایج

ضرایب مدل نهایی LR برای طول، عرض، ضخامت و سطح به ترتیب برابر 0.2211 ± 0.028 ، 0.9431 ± 0.029 و 0.2934 ± 0.010 بود که توانست جرم را با ضریب تبیین برابر 0.928 ± 0.028 پیش‌بینی کند که نشان دهنده دقیقیت پیش‌بینی نسبتاً خوب آن است. این مدل برای پیش‌بینی روابط خطی بین متغیرها عملکرد مناسبی دارد؛ برای نتایج شاخص‌های مدل حاصل از پیکربندی‌های مختلف ANN با کمک شبکه‌های پرسپترون چند لایه در جدول ۱ نشان داده شده است.

همان‌طور که در جدول ۱ مشاهده می‌گردد، بهترین شبکه‌های پرسپترون چند لایه در مرحله آموزش شبکه‌ای باتابع آموزش لونبرگ-مارکوآت و پیکربندی $4-11-1$ بود که ضریب تبیین برابر 0.978 ± 0.003 داشت. همچنین در مرحله آزمون هم شبکه‌ای باتابع آموزش لونبرگ-مارکوآت و پیکربندی $4-8-1$ بهترین عملکرد را داشت که توانست جرم را با دقیقیت 0.993 ± 0.003 پیش‌بینی نماید. شبکه‌های پرسپترون چند لایه توانست موفق‌تر از LR عمل نماید؛ علت این امر شاید به سبب توانایی شبکه‌های پرسپترون چند لایه در پیش‌بینی روابط غیر خطی در کنار روابط خطی باشد. ایده اصلی SVR این است که فضای ورودی اصلی (که معمولاً مربوط به متغیر پیش‌بینی کننده غیر خطی است) به منظور حل مشکلات طبقه‌بندی غیرخطی از طریق نگاشت داده‌های آموزشی اصلی به یک فضای ویژگی با ابعاد بالا با یکتابع هسته (مثلًا RBF) ترسیم شود؛ از تابع پایه شعاعی که بیشتر استفاده می‌شود به عنوان هسته استفاده شده است و شاخص‌های ϵ و C از طریق آزمون و خطاب بدست آمد.

بعد از انتخاب ورودی، عملیات پیش‌بینی توسط SVR با استفاده از ورودی به ازای دوتابع هسته RBF و تابع خطی انجام شد. در مطالعه حاضر، مقدار 7 بر اساس مقدار حداقل بهینه RMSE شد. مقدار بهینه شده 7 برای تابع هسته RBF به صورت 0.05 ± 0.005 به دست آمده است. شاخص‌های ϵ و C نیز برای تابع هسته RBF و تابع خطی به ترتیب 0.0398 ± 0.00397 و 0.0154 ± 0.00154 و 0.2411 ± 0.02411 برای مدل پیشنهادی به دست آمد.

چهار روش LR، SVR-RBF، SVR-Linear و ANN به ترتیب برابر 0.961 ± 0.001 ، 0.930 ± 0.001 و 0.941 ± 0.001 گرم بود.

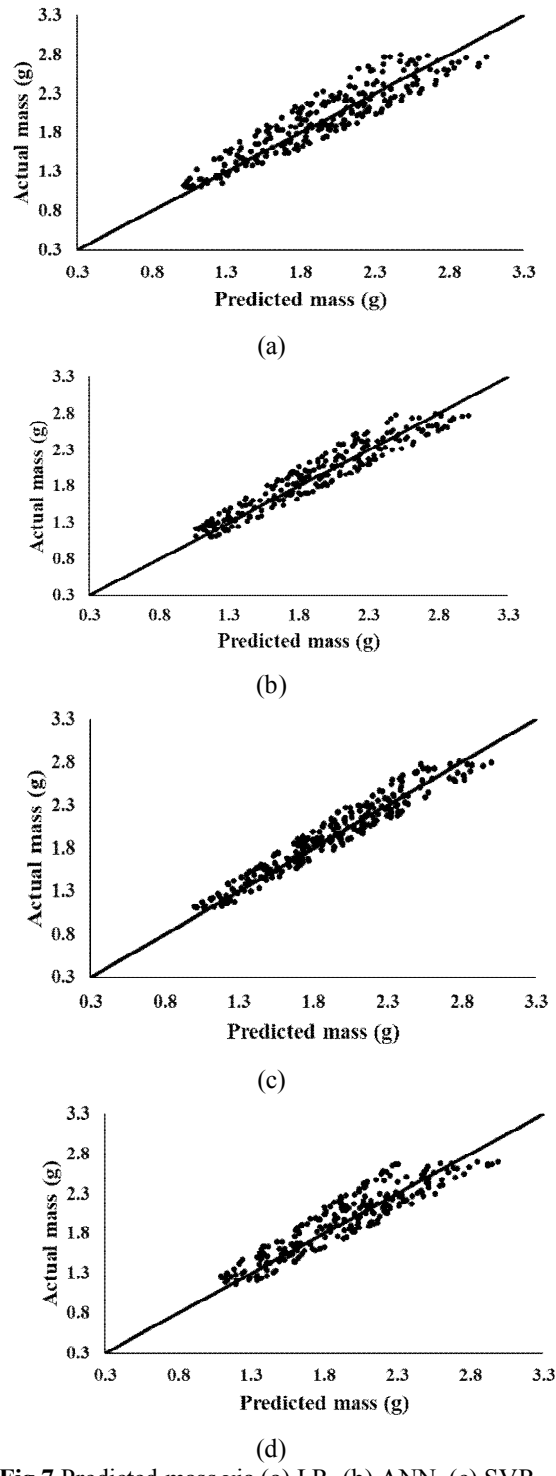


Fig 7 Predicted mass via (a) LR, (b) ANN, (c) SVR-RBF and (d) SVR-Linear versus actual mass (measured).

Table 1 Some of the best MLP neural network topologies to predict mass

Learning function	Topology	Training		Test	
		R ²	RMSE	R ²	RMSE
Levenberg-Marquardt	4-3-1	0.942	0.141	0.991	0.032
	4-8-1	0.929	0.163	0.993	0.026
	4-17-1	0.961	0.129	0.989	0.047
	4-11-1	0.978	0.108	0.979	0.074
	4-6-1	0.951	0.132	0.984	0.062
	4-13-1	0.973	0.112	0.989	0.039
	4-19-1	0.938	0.152	0.985	0.054
	4-23-1	0.963	0.122	0.982	0.071

جرم نشان داد. عملکرد مدل‌های پیشنهادی LR و شبکه‌های پرسپترون چند لایه با استفاده از مجموعه داده یکسان با هم مقایسه شد. در این حالت از ۴ ورودی یکسان برای هر سه الگوریتم مدل برای پیش‌بینی مقدار جرم جبهه انگور استفاده شد. در مطالعه تطبیقی از شاخص‌های ارزیابی عملکرد مدل شامل RMSE، SSE، R²، بایاس و همبستگی استفاده شد. نتایج عملکرد مدل مقایسه‌ای در جدول ۲ خلاصه شده است.

مهم‌ترین کار در توسعه مدل، تقسیم داده‌ها به آموزش و آزمایش بود. مجموعه داده‌ها به گونه‌ای در آموزش و آزمایش تقسیم شده‌اند که توزیع هر دو مجموعه داده باید یکسان باشد. نتایج پیش‌بینی نشان داد که روش SVR با تابع هسته RBF کارایی بهتری نسبت به تابع خطی داشت؛ به طوری که در معیار دقت پیش‌بینی، تابع هسته RBF با ضریب تبیین برابر ۰/۹۹۸ عملکرد بهتری نسبت به تابع خطی با ضریب تبیین ۰/۹۷۳ در پیش‌بینی

Table 2 Model assessment result for mass prediction.

Index				
Bias	R ²	RMSE	SSE	Model
0.067	0.928	0.176	24.342	LR
0.026	0.993	0.026	4.657	MLP
0.011	0.998	0.018	3.287	SVR-RBF
0.054	0.973	0.116	15.761	SVR-Linear

به عنوان مثال ویدیارتی و همکاران (۲۰۲۰) توانستند با استفاده از مدل یادگیری ماشین جمع شده تجمعی^{۱۸} جرم مغز بادام را پیش‌بینی کنند [۱۰]. همین محققان توانستند جرم مغز پسته را با کمک الگوریتم یادگیری ماشین جنگل تصادفی^{۱۹} تخمین بزنند [۱۱].

۳-۳-پیش‌بینی حجم

حجم واقعی جبهه‌های انگور مورد استفاده برای پیش‌بینی برابر ۰/۲۸ سانتی‌متر مکعب با انحراف معیار ۰/۲۸ سانتی‌متر مکعب بود. پیش‌بینی حجم با استفاده از خصوصات پرداش تصویر شامل طول، عرض، ضخامت و سطح تصویر با کمک چهار روش LR، SVR-RBF، SVR-Linear و ANN انجام پذیرفت. شکل ۸ حجم پیش‌بینی شده توسط این روش‌ها نسبت به حجم واقعی را نشان می‌دهد.

مقدار SSE نزدیک به صفر نشان‌دهنده دارای مولفه خطای تصادفی کوچک‌تر مدل و مفید بودن آن برای پیش‌بینی است. مقدار RMSE برای یک مدل ایده‌آل صفر می‌گردد. بایاس نیز نشان‌دهنده انحراف متوسط مقادیر برآورده شده از مقادیر مشاهده شده است که می‌تواند مثبت یا منفی باشد [۱۰، ۲۹، ۳۰]. همان‌طور که در جدول ۲ مشاهده می‌گردد، بر اساس شاخص‌های ارزیابی تمام روش‌ها نسبت به روش LR برتری داشتند و در این میان روش SVR با تابع هسته RBF و نیز روش شبکه‌های پرسپترون چند لایه عملکرد بهتری نشان دادند که احتمالاً به دلیل رابطه غیرخطی بین خصوصیات ابعادی جبهه انگور با جرم باشد. چنین استدلالی با توجه به عملکرد بهتر تابع هسته RBF نسبت به تابع خطی قابل قبول بهنظر می‌رسد. استفاده موفقیت آمیز از سیستم پردازش تصویر و سیستم یادگیری ماشین در پیش‌بینی جرم توسط سایر محققان گزارس شده است؛

18. Stack ensembled machine learning model
19. Random forest machine learning

نتایج نشان داد که پراکندگی حجم پیش‌بینی شده در روش LR و SVR-Linear بیشتر بود، به طوری که انحراف معیار این دو روش به ترتیب برابر 0.038 و 0.035 بود. انحراف معیار نتایج حجم پیش‌بینی شده توسط دو روش SVR-RBF و ANN نیز برابر 0.029 و 0.030 بود. پراکندگی بیشتر حجم پیش‌بینی شده نشان دهنده از دقت کمتر در پیش‌بینی نسبت به حجم واقعی است. در پیش‌بینی حجم همانند جرم، مدل‌هایی که به صورت غیرخطی عمل می‌نمایند عملکرد بهتری نشان دادند که بیانگر ارتباط غیرخطی حجم با داده‌های ورودی است.

نتایج حاصل از تخمین حجم با روش LR مدلی را با ضرایب 0.9873 ، 0.1873 ، 0.9841 ، 0.18431 و 0.2941 به ترتیب برای طول، عرض، ضخامت و سطح تصویر پیشنهاد داد؛ این مدل توانست با ضریب تبیین بالاتر از 0.878 حجم را پیش‌بینی نماید و با توجه به ضرایب بزرگ‌تر سطح و ضخامت در مدل LR نهایی، تاثیر این شاخص‌های ورودی در پیش‌بینی حجم بیشتر می‌باشد. توسعه مدل ANN منجر به ایجاد شبکه شبکه‌های پرسپترون چند لایه با پیکربندی $4-4-1$ وتابع آموزش مومتوم گردید که توانست با دقت 0.977 حجم را پیش‌بینی نماید. عملکرد این پیکربندی در مرحله آموزش نیز با ضریب تبیین برابر 0.952 مناسب بود. این پیکربندی شبکه‌ای با 4 ورودی (طول، عرض، ضخامت و سطح)، یک لایه مخفی (با 8 نورون) و یک خروجی (حجم جبه انگور) می‌باشد. نتایج حاصل از مدل‌سازی با ANN برای پیکربندی‌های مختلف در جدول ۳ نشان داده شده است. پیش‌بینی‌های مدل ANN بسیار نزدیک‌تر به خط پیش‌بینی کامل نسبت به مدل LR است (شکل ۸؛ بنابراین، مدل ANN ظرفیت تعیین قابل توجهی نسبت به مدل LR نشان می‌دهد. این دقت پیش‌بینی بالاتر ANN را می‌توان به توانایی کلی آن در تقریب غیرخطی بودن سیستم نسبت داد، در حالی که مدل LR محدود به یک چند جمله‌ای مرتبه اول یا دوم است. ایجاد مدل ANN نیاز به تعداد زیادی محاسبات تکراری دارد، در حالی که مدل LR فقط یک محاسبه تک مرحله‌ای دارد، از این‌رو مدل ANN دارای زمان محاسباتی بالاتر نسبت به مدل LR می‌باشد.

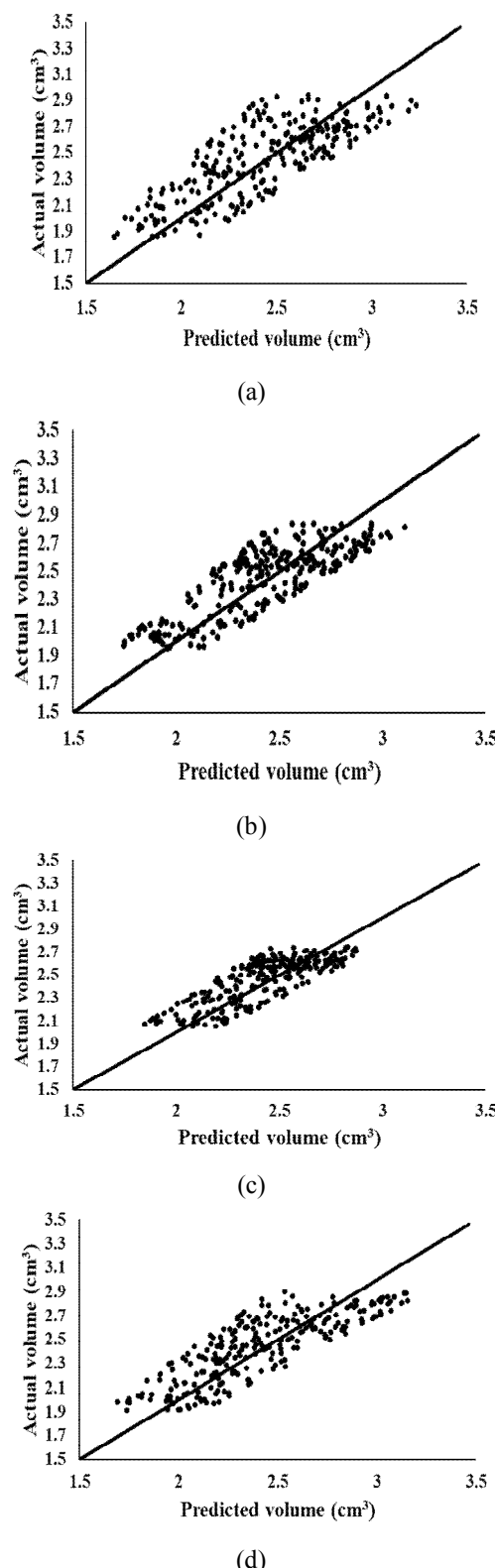


Fig 8 Predicted volume via (a) LR, (b) ANN, (c) SVR-RBF and (d) SVR-Linear versus actual volume (measured).

Table 3 Some of the best MLP neural network topologies to predict volume

Learning function	Topology	Training		Test	
		R ²	RMSE	R ²	RMSE
Levenberg-Marquardt	4-4-1	0.924	0.275	0.952	0.203
	4-16-1	0.941	0.225	0.974	0.149
	4-13-1	0.939	0.218	0.968	0.154
	4-9-1	0.939	0.222	0.970	0.139
	4-7-1	0.944	0.209	0.971	0.132
	4-22-1	0.921	0.292	0.954	0.185
	4-8-1	0.952	0.201	0.977	0.111
	4-4-1	0.940	0.218	0.961	0.167

شاخص‌های ارزیابی نشان داد که مقدار RMSE و بایاس روش SVR با تابع هسته RBF نسبت به سایر مدل‌ها کمتر است و در نتیجه قابلیت بالاتری در پیش‌بینی حجم دارد. در بین مدل‌ها، روش LR پائین‌ترین عملکرد را داشت که نشان از ارتباط پیچیده بین طول، عرض، ضخامت و سطح تصویر با حجم می‌باشد. نتایج مشابه‌ای در استفاده از روش تخمین حجم مواد غذایی با کمک خصوصیات استخراجی از تصویر و سیستم یادگیری ماشین توسط محققان مختلف برای انار [۳۶]، هلو [۳۷]، تخمر مرغ [۳۸، ۳۹] و سیب درختی [۴۰] گزارش شده است.

همان‌طور که پیش‌تر گفته شد، مقدار ۷ بر اساس مقدار حداقل RMSE بهینه شد. مقدار بهینه شده ۷ برای تابع هسته RBF به صورت $0/3$ به دست آمده است. شاخص‌های ۴ و C نیز در مدل پیشنهادی برای تابع هسته RBF و تابع خطی به ترتیب $0/465$ و $0/5348$ و $0/0329$ و $0/3831$ به دست آمد. نتایج پیش‌بینی نشان داد مشابه پیش‌بینی جرم، روش SVR با تابع هسته RBF کارایی بهتری نسبت به تابع خطی داشت؛ ضریب تبین، تابع هسته RBF و تابع خطی به ترتیب $0/989$ و $0/969$ بود که باز هم رابطه غیرخطی بین خصوصیات استخراجی از تصویر با حجم را تأیید می‌نماید. مقایسه روش‌های مختلف با استفاده از

Table 4- Model assessment result for mass prediction.

Index				
Model	SSE	Model	SSE	Model
0.143	0.878	0.275	55.473	LR
0.071	0.977	0.111	13.591	MLP
0.049	0.989	0.078	10.121	SVR-RBF
0.116	0.969	0.198	46.353	SVR-Linear

نمونه‌ها با گذشت زمان از روز ۰ تا روز ۲۸ به‌طور معنی‌داری ($p < 0.05$) کاهش یافت و استفاده از پوشش دهی توانست میزان از دست دادن رطوبت و در نتیجه تغییرات جرم و حجم را کاهش دهد. افزایش سطح روغن شاهدانه و صمغ فارسی سبب کاهش معنی‌دار ($p < 0.05$) تغییرات جرم و حجم گردید. افزایش روغن شاهدانه سبب افزایش اثرات ضد میکروبی و بهبود خصوصیات فیزیکی و ممانعت کتنندگی می‌گردد و افزایش غلظت صمغ فارسی نیز باعث افزایش خصوصیات چسبندگی محلول صمغ فارسی می‌شود. نتایج تخمین جرم و حجم نشان داد که هر چهار مدل عملکرد نسبتاً موفقی داشتند. در این میان روش SVR با تابع هسته RBF و نیز روش MLP عملکرد بهتری نشان دادند

در پژوهش حاضر پس از بررسی تغییرات حجم و جرم حبه انگور پوشش دهی شده با مقادیر مختلف صمغ فارسی و روغن شاهدانه، حجم و جرم با استفاده از سیستم بینایی ماشین همراه با انواع مدل یادگیری ماشین با سطح اطمینان بالایی پیش‌بینی گردید. برای این منظور پس از پیش‌پردازش تصاویر و حذف نویز، خصوصیاتی نظری طول، عرض، ضخامت و مساحت سطح از آنها استخراج گردید. از این خصیصه‌های استخراجی از تصویر با کمک چهار روش LR، SVR-RBF، SVR-Linear و ANN جرم و حجم پیش‌بینی گردید. نتایج اندازه‌گیری تغییرات جرم و حجم مشخص نمود که جرم و حجم انگور در تمام

۴-نتیجه‌گیری کلی

- [7] Zandi, M., et al., Application of neural-fuzzy inference system (ANFIS) and fuzzy logic for prediction of physicochemical changes and classification of coated sweet lemon during storage (In persian). Iranian Food Science and Technology Research Journal, 2021. 17(2).
- [8] Zandi, M., A. Ganjloo, and M. Bimakr, Computer Vision System Applied to Classification of Medlar (*Mespilus germanica*) during ripening stage at cold storage (In persian). Innovative Food Technologies (JIFT), 2020. 7(3.).
- [9] Su, Q., et al., Potato feature prediction based on machine vision and 3D model rebuilding. Computers and Electronics in Agriculture, 2017. 137: p. 41-51.
- [10] Vidyarthi, S.K., R. Tiwari, and S.K. Singh, Stack ensembled model to measure size and mass of almond kernels. Journal of Food Process Engineering, 2020. 43(4): p. e13374.
- [11] Vidyarthi, S.K., et al., Prediction of size and mass of pistachio kernels using random Forest machine learning. Journal of Food Process Engineering, 2020. 43(9): p. e13473.
- [12] Bejagam, K.K., et al., Machine-learned coarse-grained models. The journal of physical chemistry letters, 2018. 9(16): p. 4667-4672.
- [13] Halac, D., E. Sokic, and E. Turajlic. Almonds classification using supervised learning methods. in 2017 XXVI International Conference on Information, Communication and Automation Technologies (ICAT). 2017. IEEE.
- [14] Whan, A.P., et al., GrainScan: a low cost, fast method for grain size and colour measurements. Plant methods, 2014. 10(1): p. 23.
- [15] Su, Q., et al., Potato quality grading based on machine vision and 3D shape analysis. Computers and electronics in agriculture, 2018. 152: p. 261-268.
- [16] Vivek Venkatesh, G., et al., Estimation of volume and mass of axi-symmetric fruits using image processing technique. International Journal of Food Properties, 2015. 18(3): p. 608-626.
- [17] Nouri-Ahmabadi, H., et al., Design, development and evaluation of an online grading system for peeled pistachios equipped with machine vision technology and support

که احتمالاً به دلیل رابطه غیر خطی بین خصوصیات ابعادی جبه انگور با جرم یا حجم باشد. چنین استدلالی با توجه به عملکرد بهتر تابع هسته RBF نسبت به تابع خطی قابل قبول به نظر می‌رسد. این نتایج نشان داد که مدل SVR با تابع هسته RBF ارزیابی امیدوار کننده برای تخمین میزان جرم و حجم می‌باشد.

۵-تقدیر و تشکر

مقاله حاضر حاصل از پژوهه کارشناسی و طرح پژوهشی مصوب گروه علوم و مهندسی صنایع غذایی دانشگاه زنجان با عنوان "استفاده از سامانه‌های میکروامولسیون و نانوامولسیون حاوی صمغ فارسی و روغن شاهدانه برای نگهداری انگور (بهینه‌سازی، مدل‌سازی و پردازش تصویر)" مورخ ۱۳۹۸/۰۷/۱۵ می‌باشد. از دانشکده کشاورزی دانشگاه زنجان که با فراهم آوردن امکانات تحقیق ما را یاری کردند، سپاسگزاری می‌نمایم.

۶-منابع

- [1] Prakash, B., Mathematical modeling of moisture movement within a rice kernel during convective and infrared drying. 2011, University of California, Davis.
- [2] Singh, S.K., S.K. Vidyarthi, and R. Tiwari, Machine learnt image processing to predict weight and size of rice kernels. Journal of Food Engineering, 2020. 274: p. 109828.
- [3] Wang, D., et al., Computer vision for bulk volume estimation of apple slices during drying. Drying Technology, 2017. 35(5): p. 616-624.
- [4] Soltani, M., M. Omid, and R. Alimardani, Egg volume prediction using machine vision technique based on pappus theorem and artificial neural network. Journal of food science and technology, 2015. 52(5): p. 3065-3071.
- [5] Martynenko, A. and M.A. Janaszek, Texture changes during drying of apple slices. Drying Technology, 2014. 32(5): p. 567-577.
- [6] Ganjloo, A., et al., Indirect Estimation of Mass and Shape Ratio Changes of Aloe vera gel Coated Cherry Tomatoes Using Image Processing Technique (In persian). Innovative Food Technologies (JIFT), (2021) In press.

- [28] Chang, C.-C. and C.-J. Lin, LIBSVM: A library for support vector machines. *ACM transactions on intelligent systems and technology (TIST)*, 2011. 2(3): p. 1-27.
- [29] Patel, A.K., S. Chatterjee, and A.K. Gorai, Development of a machine vision system using the support vector machine regression (SVR) algorithm for the online prediction of iron ore grades. *Earth Science Informatics*, 2019. 12(2): p. 197-210.
- [30] Qu, C., et al., A moisture content prediction model for deep bed peanut drying using support vector regression. *Journal of Food Process Engineering*, 2020: p. e13510.
- [31] Ciccarese, A., et al., Effectiveness of pre- and post-veraison calcium applications to control decay and maintain table grape fruit quality during storage. *Postharvest Biology and Technology*, 2013. 75: p. 135-141.
- [32] Khorram, F., A. Ramezanian, and S.M.H. Hosseini, Shellac, gelatin and Persian gum as alternative coating for orange fruit. *Scientia Horticulturae*, 2017. 225: p. 22-28.
- [33] Salarnia, M., et al., Physical, Barrier and Antimicrobial Properties of Sodium Caseinate-based Edible Film Containing Hemp Seed oil (in persian). *journal of Innovative Food Technologies (JIFT)* 2018. 5(3): p. 485-497.
- [34] Leizer, C., et al., The composition of hemp seed oil and its potential as an important source of nutrition. *Journal of Nutraceuticals, functional & medical foods*, 2000. 2(4): p. 35-53.
- [35] Cozmuta, A.M., et al., Preparation and characterization of improved gelatin films incorporating hemp and sage oils. *Food Hydrocolloids*, 2015. 49: p. 144-155.
- [36] Arendse, E., et al., Non-destructive characterization and volume estimation of pomegranate fruit external and internal morphological fractions using X-ray computed tomography. *Journal of Food Engineering*, 2016. 186: p. 42-49.
- [37] Pereira, T.M., P.D. Gaspar, and M.P. Simões. Fruit recognition and classification based on SVM method for production prediction of peaches. in IV Balkan Symposium on Fruit Growing. IV Balkan Symposium on Fruit Growing (BSFG 2019).
- [38] Siswantoro, J., M. Hilman, and M. Widiasri. Computer vision system for egg vector machine. *Information Processing in Agriculture*, 2017. 4(4): p. 333-341.
- [18] Nyalala, I., et al., Tomato volume and mass estimation using computer vision and machine learning algorithms: Cherry tomato model. *Journal of Food Engineering*, 2019. 263: p. 288-298.
- [19] Calixto, R.R., et al., A computer vision model development for size and weight estimation of yellow melon in the Brazilian northeast. *Scientia Horticulturae*, 2019. 256: p. 108521.
- [20] Utai, K., et al., Mass estimation of mango fruits (*Mangifera indica* L., cv. 'Nam Dokmai') by linking image processing and artificial neural network. *Engineering in Agriculture, Environment and Food*, 2019. 12(1): p. 103-110.
- [21] Sheng, K., et al., Comparison of postharvest UV-B and UV-C treatments on table grape: Changes in phenolic compounds and their transcription of biosynthetic genes during storage. *Postharvest Biology and Technology*, 2018. 138: p. 74-81.
- [22] Zhou, X., et al., The biocontrol of postharvest decay of table grape by the application of kombucha during cold storage. *Scientia Horticulturae*, 2019. 253: p. 134-139.
- [23] Jia, X., et al., Storage quality of "Red Globe" table grape (*Vitis vinifera* L.): Comparison between automatic periodical gaseous SO₂ treatments and MAP combined with SO₂ pad. *Journal of Food Processing and Preservation*, 2020. 44(8): p. e14507.
- [24] Cazón, P., et al., Polysaccharide-based films and coatings for food packaging: A review. *Food Hydrocolloids*, 2017. 68: p. 136-148.
- [25] Joukar, F., et al., Effect of Farsi gum-based antimicrobial adhesive coatings on the refrigeration shelf life of rainbow trout fillets. *LWT*, 2017. 80: p. 1-9.
- [26] Dehghani, P., et al., Shelf-life extension of refrigerated rainbow trout fillets using total Farsi gum-based coatings containing clove and thyme essential oils emulsions. *Food Hydrocolloids*, 2018. 77: p. 677-688.
- [27] Shahbazi, Y. and N. Shavisi, Application of active Kurdi gum and Farsi gum-based coatings in banana fruits. *Journal of Food Science and Technology*, 2020: p. 1-11.

- Telecommunications and Information Technology (ECTI-CON). 2017. IEEE.
- [40] Ziaratban, A., M. Azadbakht, and A. Ghasemnezhad. Modeling of volume and surface area of apple from their geometric characteristics and artificial neural network. International Journal of Food Properties, 2017. 20(4): p. 762-768.
- volume prediction using backpropagation neural network. in IOP Conference Series: Materials Science and Engineering. 2017.
- [39] Thipakorn, J., R. Waranusast, and P. Riyamongkol. Egg weight prediction and egg size classification using image processing and machine learning. in 2017 14th International Conference on Electrical Engineering/Electronics, Computer,

Iranian Journal of Food Science and TechnologyHomepage: www.fsct.modares.ir**Scientific Research**

Evaluation the Effect of Farsi Gum Containing Hemp seed oil Coating on Mass and Volume Changes of Grape during cold Storage using Machine Vision and Machine Learning Systems

Ganjloo, A. ¹, Zandi, M. ^{2*}, Bimakr, M. ¹, Ghareh Baghi, A. ³

1. Associate Professor, Department of Food Science and Engineering, Faculty of Agriculture, University of Zanjan, Zanjan, Iran

2. Assistant Professor, Department of Food Science and Engineering, Faculty of Agriculture, University of Zanjan, Zanjan, Iran

3. BSc Graduate, Department of Food Science and Engineering, Faculty of Agriculture, University of Zanjan, Zanjan, Iran

ARTICIE INFO**ABSTRACT****Article History:**

Received 2020/12/04

Accepted 2021/01/26

Keywords:

Coating,
Image processing,
Support vector machine,
Artificial neural network,
Prediction.

DOI: [10.52547/fsct.18.04.13](https://doi.org/10.52547/fsct.18.04.13)

*Corresponding Author E-Mail:
Zandi@znu.ac.ir

In this study, the effects of Farsi gum (0, 1.5% and 3%) coating containing hemp seed oil (0, 0.075% and 0.15%) on mass and volume changes of grape were investigated during storage at 4°C for 28 days. Machine vision system with learning machine methods was used to detect coated grapes from an image and estimate their mass and volume based on the image features (length, width, height and area). Four machine learning models, including linear regression (LR), artificial neural networks (ANN), radial basis function support vector regression (RBF-SVR) and Linear basis function support vector regression (LBF-SVR) were developed to predict the mass and volume of the single grape. The estimated grape mass and volume by these methods was compared statistically with actual values. The mass and volume in all treatments showed a decreasing pattern during the cold storage. The results indicated that mass and volume change decrease with Farsi gum and hemp seed oil increasing. Furthermore, according to the model evaluation results, the prediction performance of RBF-SVR model had achieved better predictive accuracy compared with the results of LR, ANN and LBF-SVR models, with R² of 0.998 and 0.989 for mass and volume estimation, respectively, which also showed a good agreement between actual and predicted values. These results revealed that SVR model was a promising tool for estimating the mass and volume of grape during storage.